

(HUANJING KEXUE)

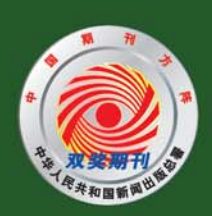
# ENVIRONMENTAL SCIENCE

第33卷 第8期

Vol.33 No.8

2012

中国科学院生态环境研究中心 主办



### 終 佐 静 享 (HUANJING KEXUE)

### ENVIRONMENTAL SCIENCE

第33卷 第8期2012年8月15日

### 目 次

南海北部大气气相多溴联苯醚的含量及来源        李琦路,李军,刘向,徐维海,张干(2533)河北张家口市大气污染观测研究
河北地名口古土台泛流加洲河南南
刊北京《日中八·【行朱观则刊元 中于,王利利,文俊孙,周彦昭,王玖心(2536)
大气中内烷光氧化臭氧生成冶性的烟雾箱模拟 黄丽华,吴创荣,徐永福,贾龙(2551)
膜生物反应器处理甲苯性能及机制叶杞宏、魏在山、肖盼、李华琴、张再利、樊青娟(2558)
厨余垃圾堆肥过程中恶臭物质分析
北京城市生态系统地表水硝酸盐污染空间变化及其来源研究 徐志伟,张心昱,任玉芬,孙晓敏,王效科,王升忠(2569)
北京城市生态系统地农小明政益行朱至问文化及英未添明五 "标志市,本心立,世玉分,並就载,王效杆,工开志(2509)
枯、平、丰水期长江3条支流表层水中多氯联苯的分布特征及风险评价
三峡库区丰水期表层水中酚类的分布特征及潜在风险 吴正勇,赵高峰,周怀东,曾敏,廖柏寒,吴正勇,张盼伟,柳敏(2574) 三峡库区丰水期表层水中酚类的分布特征及潜在风险 吴正勇,赵高峰,周怀东,李科林,李昆,张盼伟(2580) 东湖表层水体中全氟辛酸和全氟辛磺酸空间分布特征
左州主目水桥中人看立麟和人看立麟都公司公太桂红
小例农区小件工工规十段和工规十项的工厂内力和TUL.
三峡库区大宁河与磨刀溪重金属污染特征 安立会,张艳强,郑丙辉,刘玥,宋双双,李子成,陈浩,赵兴茹,林进(2592)
长江水系表层沉积物重金属污染特征及生态风险性评价
江蓝加东滩涂П米美殖区丰层沉积物山黄今届亚源分析及甘港在广物青性 李吾 工三龙 蒸む 青朗 次新瑶(2607)
在分别小师研究大介担色农区UM的等于里亚两不断刀切及兴宙在工物专口。
机到强度对众例机快初中解释放及其形态转化的影响 ····································
十流倒灈异重流对杳溪河库湾宫养盐的补给作用 张宇,刘德富,纪道斌,杨正健,陈媛媛(2621)
常年淹水和干旱对三峡库区消落带菖蒲生长恢复的影响 李强,高祥,丁武泉,朱启红,欧媛,刘瑜(2628)
温州城市降雨经流磷的角荷及其初始冲刷效应 周桂 陈振楼 毕素鸠(2634)
加州为山区中间上流域的西方法的逐步绘山柱红。
7. 一个一个一个一个一个一个一个一个一个一个一个一个一个一个一个一个一个一个一个
<b>城郊农业区小流域土地利用结构对氮系输出的影响</b>
基于 AnnAGNPS 模型四岭水库小流域氮磷流失特征的模拟研究 边金云,王飞儿,杨佳,俞洁,楼莉萍,俞丹萍(2659)
基于 GIS 和 L-THIA 模型的深圳市观澜河流域非占源污染负荷变化分析 ························ 白凤姣 李天宏(2667)
黄土丘陵区城南水州对降雨和下热面微观校昌的响应 工作 曹逗些 阵利而 呈左亚 阵球(2674)
更上几夜已极田小压对阵的伸手至田顶就竹河的响应 上下, 贝福名, 卧河坝, 大水下, 卧堡(2014)
强化混凝对腐殖酸和晶里酸去除对比研究
九龙江卜游水源水中新发病原微生物和抗生素抗性基因的定量 PCR 检测 ············ 王青,林惠荣,张舒婷,于鑫( 2685 )
布吉河丰水期总细菌和氨氧化细菌的定性和定量研究 · · · · · · · · · · · · · · · · · · ·
曝气生物滤池工艺脱氡性能及反硝化细菌群落结构特征研究
城市运水外理厂每化物工艺微片物种群分析 郭云 杨殿海 卢文健(2700)
70. 10. 10. 10. 10. 10. 10. 10. 10. 10. 1
IC 及应给处理学问及小的效能及共倾生物种冷幼恋分别。
三峡库区大宁河与磨刀溪重金属污染特征 安立会,张艳强,郑丙辉,刘玥,宋双双,李子成,陈浩,赵兴茹,林进(2592)长江水系表层沉积物重金属污染特征及生态风险性评价
UV/H,O, 法对印染废水生化出水中不同种类有机物的去除效果 ····································
蛋白核小球藻 Chlorella pyrenoidosa-15 的异养培养条件优化及污水养殖
里口板了外来 Chaocha pyreholausa-15 出开介绍介尔门拉巴及门尔尔里工系统 本业职 职写出 本占据 告行若 经点表(2725)
工为市,子允庄,加湿风,子丰荣,表红利,彻金尔(2133)
"Fe"/优势脱氯菌"体系降解 2,4,6-TCP 特性及机制研究 戴友芝,郭丽丽,史雷,刘智勇,高宝钗( 2741 )
树脂 D201 上粗漆酶的固定化及对孔雀石绿的脱色 ················· 戚绪亮,刘翔,刘波,王林,王小春,方超( 2747 )
TiO./PS/Fe.O.光催化剂的低温制备及其光催化和磁回收性能 ········· 王雪姣 任学昌 念娟妮 肖举强 王刚 常青(2752)
微波加热下来的催化氧化性能研究 张红彩   上水利 王晓晖 刘海楠 张浩(2759)
M业外外外的目标用作为作用工法研究和研究的 有一贯 这是 逐步 近对 化生素 明神中(2727)
到外做切的问解的联闭作用了值性存死性比的明光
好氧颗粒污泥沉降选择头验研究与定量描述
超声波促进好氧/缺氧污泥消化过程中水解酶活性变化研究
微生物营养剂浓度对生物沥浸法促进城市污泥脱水性能的影响 宋永伟,刘奋武,周立祥(2786)
空哈会条件下萨嘉结中对任温光昭胁迫的响应与微结构变化
大型主示[]   血球印文对体皿/元龄度的神迹与版和诗文化
四角地区条巴小相工有性映序的学 1 幼恋
典型设施采地土壤抗生系污染特征与积系规律研究
土壤铜硒复合污染中金属形态转化及其对生物有效性的影响 胡斌,梁东丽,赵文龙,缪树寅(2817)
十壤微牛物群落对多环芳烃污染十壤牛物修复过程的响应 张晶,林朱贵,刘魏魏,尹睿(2825)
可可手角一种菌对隹化厂土壤多环苦烃污染修复
宁西艾山岭矿民孙山岭县一丰的沿岸市区区区。
) 四宋山郊9 尼沙里顶里几条时价低头湿明九
北京市近郊区土壤岬系积特位
抗氧化酶基因作为多外麝香污染分子标志物研究
臭氧污染对不同品种小麦干物质与生物量碳积累与分配的影响 寇太记,于伟伟,朱建国,朱新开(2862)
尿素分解共沉淀法中反应时间对 ZnAI 类水滑石结构和磷吸附性能的影响 ·········· 陆英 程翔 邢波 孙中思 孙德恕(2868)
铅利铜离子在纳米羟基碳灰石上的音争吸附动力学研究
илияты л цлимд <u>Филин цр. т уми улутулт уми улутул</u> уми н
pII 和 NI - 列入上到不氧化硅吸附非的影响
钿在凹凸悴石上的收附符性与机制研究
环丙沙星在潮土中的吸附特性 崔皓,王淑平(2895)
中高温区水合肼 SNCR 脱硝反应机制和特性研究 洪鎏, 陈德珍, 王渡 黄榛(2901)
7 0 1 1 1 1 1 1 1 1 1 1 1 1 1 1 1 1 1 1
- H.S. 洗逢性催化氧化   艺及催化剂研究现状 ····································
H <sub>2</sub> S 选择性催化氧化工艺及催化剂研究现状 ····································
微生物营养剂浓度对生物沥浸法促进城市污泥脱水性能的影响 宋永伟,刘奋武,周立祥(2786)实验室条件下蓝藻结皮对低温光照胁迫的响应与微结构变化 饶本强,李华,熊瑛,兰书斌,李敦海,刘永定(2793)西南地区紫色水稻土活性碳库的季节动态 吴艳,江长胜,郝庆菊(2804)典型设施菜业土壤抗生素污染特征与积累规律研究 尹春艳,骆永明,滕应,章海波,陈永山,赵永刚(2810)土壤铜硒复合污染中金属形态转化及其对生物有效性的影响 胡斌,梁东丽,赵文龙,缪树寅(2817)土壤微生物群落对多环芳烃污染土壤生物修复过程的响应 张晶,林先贵,刘魏魏,尹睿(2825)可可毛色二孢菌对焦化厂土壤多环芳烃污染化复 张志远,王翠苹,刘海滨,孙红文(2832)广西茶山锑矿尾砂中微量元素的淋滤实验研究 蔡永兵,李玲,魏晓飞,张国平,李海霞,付志平(2840)北京市近郊区土壤碑累积特征 咸洁,王美娥,注自强,欧阳志云(2849)抗氧化酶基因作为多环麝香污染分子标志物研究 蔡永兵,李玲,魏晓飞,张国平,李海霞,付志平(2840)北京市近郊区土壤砷累积特征 咸洁,王美娥,注自强,欧阳志云(2849)抗氧化酶基因作为多环麝香污染分子标志物研究 蔡永兵,李玲,魏晓飞,张明平,李海霞,付志平(2865)臭氧污染对不同品种小麦干物质与生物量碳积累与分配的影响 宠太记,于传伟,朱建国,朱新开(2862)泉素分解共沉淀法中反应时间对 ZnAl 类水滑石结构和磷吸附性能的影响 陆英,建翔,邢波,孙中思,孙德智(2868)铅和铜离子在纳米羟基磷灰石上的竞争吸附动力学研究 胡田田,仓龙,王玉军,司友斌,周东美(2875)pH 和 Ni²+对人工纳米氧化硅吸附非的影响 胡田,仓龙,王玉军,司友斌,周东美(2887)时,对小工约米氧化硅吸附特性与机制研究 刘娟,陈迪云,张静,宋刚,罗定贵(2889)环丙沙星在潮土中的吸附特性 维克、刘明研究现状 郑海、宋顺,李康、陈德珍,王渡,黄榛(2901)H、5、选择性催化氧化工艺及催化剂研究现状 郝邦平,实广玉,张鑫,曲思秋(2909)《环境科学》征稿简则(2550) 《环境科学》征订启事(2568) 信息(2684、2714、2848、2916)

### 铅和铜离子在纳米羟基磷灰石上的竞争吸附动力学研究

胡田田1,2,仓龙2,王玉军2,司友斌1\*,周东美2\*

(1. 安徽农业大学资源与环境学院,合肥 230036; 2. 中国科学院南京土壤研究所土壤环境与污染修复重点实验室,南京 210008)

摘要:通过吸附动力学试验研究了  $Pb^{2+}$  和  $Cu^{2+}$  在纳米羟基磷灰石 (Nano-HAP) 上的竞争吸附动力学过程,比较了吸附前后 Nano-HAP 的 Zeta 电位以及 X 射线衍射图谱等,对  $Pb^{2+}$  和  $Cu^{2+}$  在 Nano-HAP 上的竞争吸附机制进行了探讨.结果表明,单一铅、铜离子存在时, $Pb^{2+}$  较  $Cu^{2+}$  在 Nano-HAP 上的吸附量要高;当铅、铜这 2 种离子共存时, $Pb^{2+}$  和  $Cu^{2+}$  在 Nano-HAP 表面发生竞争吸附,铜的吸附量增加,而铅的吸附量下降.结合 X 射线衍射图谱和动力学反应中  $Ca^{2+}$  的溶出量,推测出  $Cu^{2+}$  在 Nano-HAP 上的吸附量与  $Ca^{2+}$  的溶出量线性关系显著 ( $R^2$  为 0.861 ~ 0.954).分别用一级、二级动力学方程、抛物线方程、Elovich 方程、双常数方程和 LJ 方程对  $Pb^{2+}$  和  $Cu^{2+}$  在 Nano-HAP 上的吸附动力学过程进行了拟合,其中二级动力学方程和双常数方程拟合结果较好,说明  $Pb^{2+}$  和  $Cu^{2+}$  在 Nano-HAP 表面的动力学吸附反应是一个化学反应和物理吸附均占一定比例的复杂的吸附过程.

关键词:Pb2+; Cu2+; 纳米羟基磷灰石; 竞争吸附动力学; Zeta 电位; X 射线衍射图谱

中图分类号: X703 文献标识码: A 文章编号: 0250-3301(2012)08-2875-07

# Competitive Adsorption Kinetics of Aqueous Pb<sup>2+</sup> and Cu<sup>2+</sup> on Nano-HAP Surfaces

HU Tian-tian<sup>1,2</sup>, CANG Long<sup>2</sup>, WANG Yu-jun<sup>2</sup>, SI You-bin<sup>1</sup>, ZHOU Dong-mei<sup>2</sup>

(1. College of Resources and Environmental Sciences, Anhui Agricultural University, Hefei 230036, China; 2. Key Laboratory of Soil Environment and Pollution Remediation, Institute of Soil Science, Chinese Academy of Sciences, Nanjing 210008, China)

**Abstract:** Competitive adsorption kinetics of aqueous  $Pb^{2+}$  and  $Cu^{2+}$  on Nano-HAP surfaces were investigated by performing the adsorption kinetic experiments and comparing the change of  $\zeta$  potentials and XRD-map before and after metal adsorption. The results showed that the adsorption quantity of  $Pb^{2+}$  on Nano-HAP was higher than that of  $Cu^{2+}$  in the single system. However, the competitive adsorption of  $Pb^{2+}$  and  $Cu^{2+}$  occurred in the co-existence system of  $Pb^{2+}$  and  $Cu^{2+}$ . The adsorption quantity of  $Cu^{2+}$  on Nano-HAP increased, while that of  $Pb^{2+}$  decreased. The X-ray diffraction (XRD) and adsorption quantities of  $Ca^{2+}$  surface analysis indicated that dissolution-precipitation is the primary immobilization mechanism for  $Pb^{2+}$ , while surface complexation and electrostatic adsorption account for  $Cu^{2+}$  sequestration. The adsorption quantities of  $Pb^{2+}$  and  $Cu^{2+}$  on Nano-HAP had marked linear relationship with  $Ca^{2+}$  release from Nano-HAP ( $R^2$  0. 861-0. 954). The adsorption kinetics were fitted with the equations of first-order, second-order, parabola, Elovich, double constant equation and LJ function, respectively, in which the second-order and power function kinetics equation fitted the results best. According to above results, the adsorption kinetics of  $Pb^{2+}$  and  $Cu^{2+}$  on Nano-HAP is a complex adsorption processes with both chemical reaction and physical adsorption.

**Key words**: Pb<sup>2+</sup>; Cu<sup>2+</sup>; hydroxyapatite nanoparticles (Nano-HAP); competitive adsorption kinetics; ζ potential; XRD-map

羟基磷灰石(hydroxyapatite, HAP)是微溶水的弱碱性磷酸钙盐,分子式为 Ca<sub>10</sub>(PO<sub>4</sub>)<sub>6</sub>(OH)<sub>2</sub>,结构为六方晶格.由于羟基磷灰石具有特殊的晶体化学特征,对多种金属阳离子具有广泛的吸附固定作用,且与环境具有良好的协调性,不易造成二次污染,已成为一种新型的环境功能矿物材料<sup>[1~3]</sup>.

早在 20 世纪 80 年代,人们就对 HAP 吸附重金属离子开展了研究. Suzuki 等<sup>[4]</sup>研究发现羟基磷灰石能有效去除水溶液中的重金属离子. 近年来,国内外科学家在利用人工合成羟基磷灰石(具有纯度高,颗粒细小、比表面积大等优点)去除重金属离子方面进行了探索<sup>[5~8]</sup>. 通常认为,水溶液中的某些重

金属阳离子可以保留在羟基磷灰石中,其行为涉及 表面吸附过程、溶解-沉淀反应以及重金属阳离子 与羟基磷灰石晶格中 Ca<sup>2+</sup>之间的离子交换反应等. 然而由于环境体系中常同时存在着多种重金属离 子,因此不同离子在 HAP 表面的竞争吸附机制非常 复杂. Corami 等<sup>[8]</sup> 研究发现, HAP 能持续吸附水溶 液中的铜离子和锌离子. 铜离子和锌离子的吸附率

收稿日期: 2011-10-16; 修订日期: 2012-01-11

基金项目: 环保公益性行业科研专项经费(201009009); 国家重点

基础研究发展规划(973)项目(2007CB936604)

作者简介: 胡田田(1988~), 女, 硕士研究生,主要研究方向为污染 土壤修复, E-mail; hutt871225@ hotmail. com

\* 通讯联系人, E-mail: ybsi2002@ yahoo. com. cn, dmzhou@ issas. ac. cn

分别为 97.3% ~98.6% 和 94.2% ~97.7%.与单一的金属吸附比较, Cu²+和 Zn²+在 2 种重金属体系中的吸附能力因为 2 种重金属的竞争性吸附而分别减少了 13% ~76% 和 10% ~63%.但对于不同离子,特别是铅离子与其他重金属离子在 HAP 表面的竞争吸附机制仍不甚清楚.

本研究以纳米羟基磷灰石为供试材料,通过自制的吸附动力学装置研究了 Pb²+和 Cu²+在 Nano-HAP 上的竞争吸附动力学,同时对 Nano-HAP 的表面结构和 Zeta 电位的变化进行了分析,探讨了 Pb²+和 Cu²+共存时的竞争吸附机制.这一研究将有助于更好了解不同金属离子在纳米羟基磷灰石表面的竞争吸附机制,以期为纳米羟基磷灰石在水处理和污染土壤修复上的应用提供理论基础.

#### 1 材料与方法

#### 1.1 试剂和仪器

纳米羟基磷灰石(Nano-HAP,南京埃普瑞纳米材料有限公司);分析纯硝酸铜、硝酸铅试剂(国药集团化学试剂有限公司);超纯水(瑞士,Milli-Q超纯水仪制备).透射电子显微镜(日本,JEM-2100型);X射线衍射仪(日本,D/max2500VB2+/PC型);比表面积仪(美国,Micromeritics Accusorb2100E型);原子吸收分光光度计(日本,HITACHI,Z-2000型);土柱;高压恒流泵(中国,P230型);自动部分收集器(中国,BS-100A型);超声波清洗器(中国,KQ-3000VDE型).

#### 1.2 试验方法

#### 1.2.1 纳米羟基磷灰石的表征

透射电子显微镜(Transmission electron microscope, TEM):采用日本 JEM-2100型高分辨率电子显微镜观察颗粒形貌、粒径大小.测试条件:加速电压 200 kV.

X 射线衍射仪(X-ray diffraction, XRD):晶相结构用日本 Rigaku 公司 D/max2500VB2 +/PC 型 X 射线衍射仪测定. 测试条件: CuKα 射线,电压 40 kV,电流 200 mA.

BET 比表面积分析: 采用美国公司 Accusorb 2100E 型物理吸附仪测定.

#### 1.2.2 吸附动力学试验

试验装置见图 1<sup>[9]</sup>. 填充柱高 3.0 cm, 内径 1.2 cm, 两端分别装有醋酸纤维膜和 20 μm 尼龙膜. 称取 0.5 g Nano-HAP 缓慢倒入柱中, 并夯实. 用纯水配制重金属离子的硝酸盐储备液, 储备液 pH 为

5.5,分别为 0.1 mmol·L<sup>-1</sup>单一 Pb<sup>2+</sup>溶液、0.1 mmol·L<sup>-1</sup>单一 Cu<sup>2+</sup>溶液、0.1 mmol·L<sup>-1</sup>Cu<sup>2+</sup>和0.1 mmol·L<sup>-1</sup> Pb<sup>2+</sup>复合溶液[n(Cu)/n(P)为1],同时以纯水为对照. 恒温箱保持在 25℃,启动高压泵,溶液通过高压恒流泵自下而上泵入填充柱,流经填充柱的储备液流速为 1.0 mL·min<sup>-1</sup>,在一定的时间间隔内用自动部分收集器收集流出液. 收集液中Pb<sup>2+</sup>、Cu<sup>2+</sup>和 Ca<sup>2+</sup>浓度用原子吸收分光光度计测量.

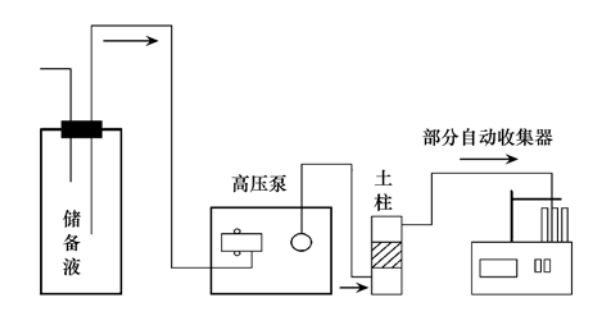


图1 试验装置示意

Fig. 1 A dynamic adsorption apparatus

#### 1.2.3 Nano-HAP 胶体悬液 Zeta 电位的测量

分别准确称取 0.50 g 试验前、后的 Nano-HAP 粉末(取出材料柱中反应后的 Nano-HAP,用去离子水洗净并烘干),用超纯水定容至 1 L 容量瓶中,混合摇匀,超声分散 30 min,配制成 Nano-HAP 悬液,静置 2 d 后摇匀吸取上层悬液测量其 Zeta 电位.

#### 1.3 数据分析

科

Nano-HAP 对离子的吸附量根据吸附剂初始浓度与流出液的浓度差求算<sup>[10~13]</sup>.

$$Cu^{2+}$$
、 $Pb^{2+}$ 在 Nano-HAP 上吸附量的计算为:  $Q_t = V(c_0 - c_t)/m$ 

式中, $Q_t$  为 t 时刻 Nano-HAP 吸收重金属离子的量; V 为溶液体积;  $c_0$  为初始  $Cu^{2+}$  、 $Pb^{2+}$  浓度;  $c_t$  为 t 时刻流出液中  $Cu^{2+}$  、 $Pb^{2+}$  浓度; m 为材料柱中 Nano-HAP 质量.

累积吸附量为每个时刻的吸附量  $Q_i$  的相加之和.

#### 2 结果与讨论

#### **2.1** Nano-HAP 的表征

图 2 是 Nano-HAP 的 TEM 图. Nano-HAP 形状为杆状,平均粒径长约 140 nm,直径约 20 nm. XRD 分析结果与羟基磷灰石标准卡片(JCPDS 9-432)比对一致. n(Ca)/n(P)为 1. 65,与羟基磷灰石的特征化学计量比吻合 [14]. Nano-HAP 的比表面积较普通

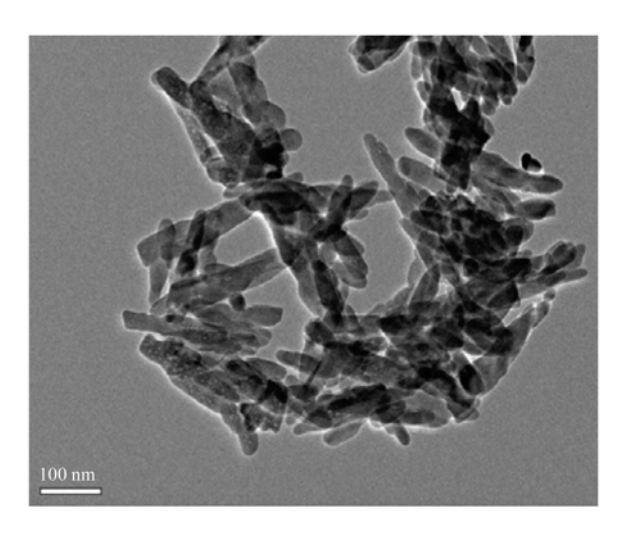


图 2 纳米羟基磷灰石的 TEM 照片(100 000 倍) Fig. 2 TEM imaging of Nano-HAP

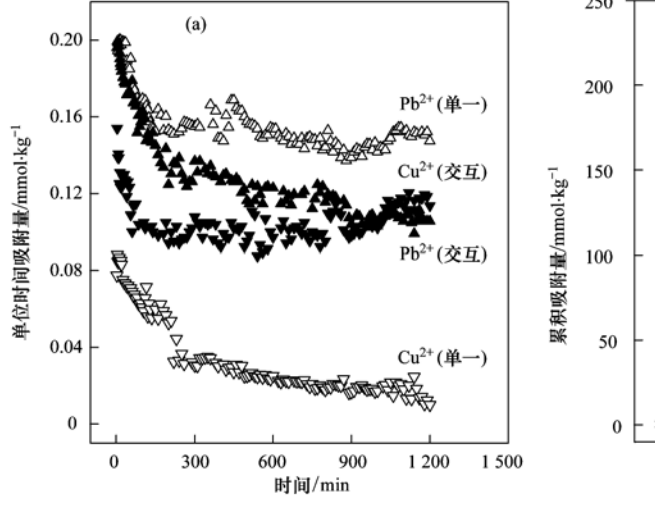
的羟基磷灰石高出很多<sup>[15]</sup>,为154 m<sup>2</sup>·g<sup>-1</sup>.

**2.2** Pb<sup>2+</sup>和 Cu<sup>2+</sup>在 Nano-HAP 上的竞争吸附动力学

图 3 是 Pb<sup>2+</sup> 和 Cu<sup>2+</sup> 在 Nano-HAP 上的吸附动力学曲线. 从图 3(a)的单位时间吸附量来看,随着时间的延长,无论是在单一还是共存条件下,Pb<sup>2+</sup>和 Cu<sup>2+</sup>在 HAP 表面的单位时间吸附量均逐渐减少并达到平衡. 当 Pb<sup>2+</sup>和 Cu<sup>2+</sup>共存于溶液中时发生了竞争吸附,Pb<sup>2+</sup>和 Cu<sup>2+</sup>的吸附量和平衡时间相对于单一离子存在条件下发生了变化. 吸附达到饱和时,单位时间吸附量的大小为 Pb<sup>2+</sup>(单一) > Pb<sup>2+</sup>(共存) > Cu<sup>2+</sup>(共存) > Cu<sup>2+</sup>(单一). 在吸附反应初期,Nano-HAP表面的活性吸附点位很多,Pb<sup>2+</sup>和 Cu<sup>2+</sup>可以同时被吸附在 Nano-HAP表面上,随着吸附液的不断流入,Nano-HAP表面的活性吸附点位逐渐

减少,离子间的竞争吸附加强,吸附速率快、吸附反 应更容易发生的离子被较多的吸附[16]. 因此, 在吸 附反应后期,Cu<sup>2+</sup>的单位时间吸附量高于Pb<sup>2+</sup>.图3 (b)的结果表明,随着平衡时间的增加,Pb2+和Cu2+ 在 Nano-HAP 上的累积吸附量逐渐增加, 且累积吸 附量的大小规律与单位时间吸附量一致. 现有研究 表明, Pb2+在 HAP 上的吸附过程主要是溶解沉 淀<sup>[10,17,18]</sup>,即 Pb<sup>2+</sup>和 Ca<sup>2+</sup>进行离子交换并产生含重 金属的 HAP 沉淀. 而 Cu2+的吸附过程是在 HAP 表 面的吸附位点进行表面配位吸附[8,19]. 由于两者吸 附过程的区别,二者产生竞争吸附时的影响不同.当  $Pb^{2+}$ 和  $Cu^{2+}$ 共存时  $.Pb^{2+}$ 的累积吸附量较  $Pb^{2+}$ 单独 存在时发生了明显的减少,表明 Cu2+的存在竞争了 Pb2+在 HAP 上的吸附位点. 羟基磷灰石在与 Pb2+ 共存时优先生成稳定的铅羟基磷灰石[20~22],在 HAP 去除 Pb2+ 的反应中, 随着 Pb2+ 初始浓度的升 高,HAP对Pb2+的去除速率降低. 试验中随着储备 液不断进入材料柱中,材料柱中能够与 HAP 反应的 Pb<sup>2+</sup>的量不断增加, HAP 对 Pb<sup>2+</sup>的去除速率 Pb<sup>2+</sup> 的量增加而减缓. 同时 Cu2+ 的存在竞争了 Pb2+ 在 HAP 上的吸附位点, 使得 Pb2+ 的累积吸附量较 Pb2+单独存在时发生了明显的减少,而 Cu2+的累积 吸附量较 Cu2+单独存在时发生了显著的增加.

图 4 是 Pb<sup>2+</sup>和 Cu<sup>2+</sup>在 Nano-HAP 上的动力学流出曲线. 随着重金属离子吸附量的逐渐增加, Nano-HAP 中可交换的 Ca<sup>2+</sup>被置换下来, Ca<sup>2+</sup>的流出量逐渐变大<sup>[10]</sup>. 图 4(a) 中 Pb<sup>2+</sup>和 Cu<sup>2+</sup>的累积流出量规律与图 3(b) 中 Pb<sup>2+</sup>和 Cu<sup>2+</sup>的累积吸附量规律相符合,累计流出量越多的累积吸附量越少.累积流出量的大小依次为:Cu<sup>2+</sup>(单一)>Cu<sup>2+</sup>



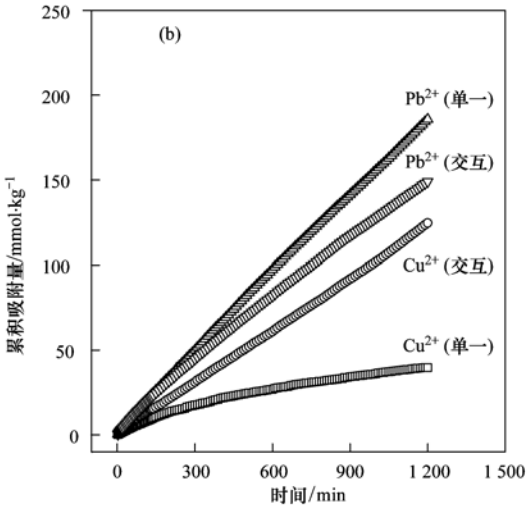


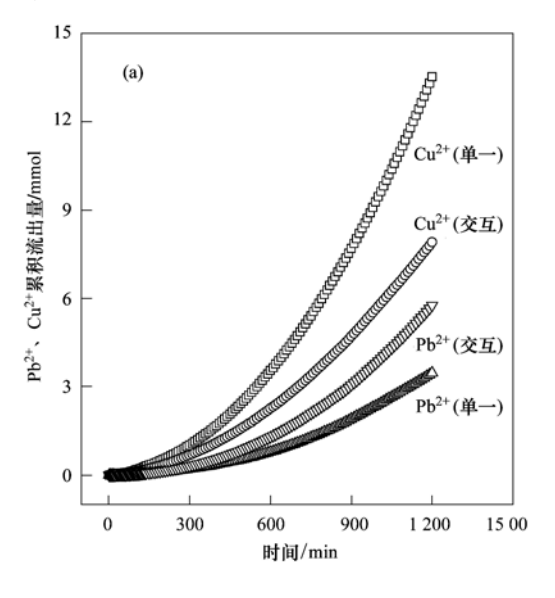
图 3 Pb2+和 Cu2+在 Nano-HAP 上的竞争吸附动力学曲线

Fig. 3 Adsorption kinetics of Pb2+ and Cu2+ on Nano-HAP

(交互) >  $Pb^{2+}$  (交互) >  $Pb^{2+}$  (单一). 由图 4(b), 单一  $Pb^{2+}$  存在时  $Ca^{2+}$  累积释放量明显高于单一  $Cu^{2+}$  存在时,单一  $Cu^{2+}$  存在时  $Ca^{2+}$  的溶出量与纯 水过柱时接近,说明  $Cu^{2+}$  在 Nano-HAP 上的吸附 过程主要以静电物理吸附为主,因此没有导致  $Ca^{2+}$  的大量溶出. 而  $Pb^{2+}$  存在时,  $Ca^{2+}$  累积释放量 明显增大,表明  $Pb^{2+}$ 与 HAP 中的  $Ca^{2+}$  发生了离子

交换,导致  $Ca^{2+}$ 的大量释放.  $Pb^{2+}$ 和  $Cu^{2+}$ 共存时的  $Ca^{2+}$ 流出量要小于  $Pb^{2+}$ 单独存在时的  $Ca^{2+}$ 流出量,这表明  $Cu^{2+}$ 的存在影响了  $Pb^{2+}$ 在 Nano-HAP表面的吸附,降低了竞争吸附交换出的  $Ca^{2+}$ 的量. 将  $Pb^{2+}$ 、 $Cu^{2+}$ 的累积吸附量与 Nano-HAP 上  $Ca^{2+}$  累积释放量进行拟合,得到较好的线性方程(见表1).

33 卷



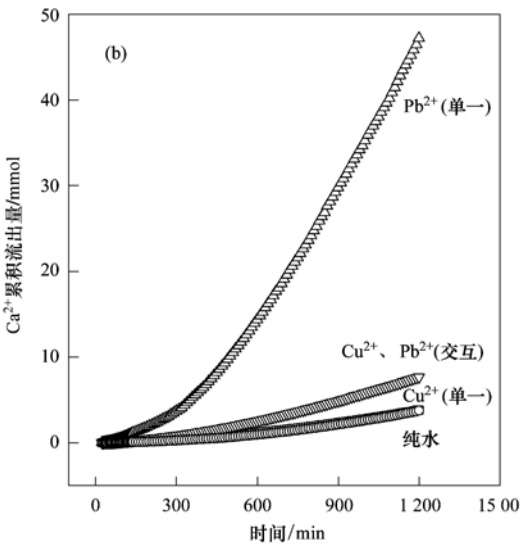


图 4 Pb2+和 Cu2+在 Nano-HAP 上的动力学流出曲线

Fig. 4 Effluent concentration of Pb2+ and Cu2+ on Nano-HAP

### 表 1 Pb<sup>2+</sup>和 Cu<sup>2+</sup>在 Nano-HAP 吸附量(y)与 流出液中 Ca<sup>2+</sup>溶出量(x)的线性关系

Table 1 Liner relationships between  $Pb^{2+}$  and  $Cu^{2+}$  adsorption quantities on Nano-HAP and  $Ca^{2+}$  release quantities from Nano-HAP

重金属	线性方程	$R^2$
Cu <sup>2+</sup> (単一)	y = 0.0007x + 12.7716	0.8610
Pb <sup>2+</sup> ( 単一 )	y = 0.005 6x + 30.888 8	0. 954 2
Cu <sup>2+</sup> (交互)	$y = 0.003 \ 0x + 23.765 \ 5$	0. 941 5
Pb <sup>2+</sup> (交互)	y = 0.0035x + 35.9409	0. 903 0

#### 2.3 试验前后 Nano-HAP 表面的 Zeta 电位变化

Nano-HAP 吸附 Pb<sup>2+</sup>、Cu<sup>2+</sup>后,其表面的 Zeta 电位发生了一定变化(见表 2). 纯水对照试验中,由于大量的 Ca<sup>2+</sup>随流出液流出,Nano-HAP 表面扩散 双电层中正电荷减少,因此 Zeta 电位与原始 Nano-HAP 相比负电位增加. 单一 Cu<sup>2+</sup>吸附时,Nano-HAP 表面的 Zeta 电位电负性略有增加,但与纯水处理相比无显著差异,这表明 Cu<sup>2+</sup>在 Nano-HAP 表面主要是静电吸附为主,这种吸附并未改变扩散双电层内表面的正电荷数量,因此 Zeta 电位变化很小. 单一Pb<sup>2+</sup>吸附时,Nano-HAP 表面的 Zeta 电位电负性明显减小. 这表明大量的 Pb<sup>2+</sup>扩散到 Nano-HAP 表面

扩散双电层的内表面,从而导致正电荷增加,整个Nano-HAP的负电位降低. 当  $Pb^{2+}$ 、 $Cu^{2+}$  共存时,Nano-HAP表面的 Zeta 电位较原始 Nano-HAP 的电负性升高,但与单一 $Cu^{2+}$ 处理比较接近,表明  $Pb^{2+}$ 、 $Cu^{2+}$  共存时  $Cu^{2+}$  影响了  $Pb^{2+}$  进入到 HAP 表面扩散 双电层的内表面,从而导致 Zeta 电位变化较小.

表 2 吸附动力学反应后 Nano-HAP 胶体 Zeta 电位

colloids after adsorption kinetics

	样品编号	反应体系	Nano-HAP 的 Zeta 电位/mV	pН
	1	原始 Nano-HAP	-16.9 ±0.6	6. 98
	2	纯水	$-19.0 \pm 0.9$	7. 19
	3	Cu <sup>2 +</sup>	$-19.9 \pm 1.2$	6. 92
	4	$Pb^{2+}$	$-2.88 \pm 0.40$	7. 19
_	5	$Cu^{2+}$ - $Pb^{2+}$	$-18.4 \pm 0.50$	7. 23

#### 2.4 试验前后 Nano-HAP 的 XRD 特征分析

对反应前后的 Nano-HAP 的 XRD(图 5)分析可看出, Nano-HAP 对 Pb<sup>2+</sup> 发生吸附反应后, Nano-HAP 中有新的物相——羟基磷铅石 [ Pb<sub>10</sub> ( PO<sub>4</sub> )<sub>6</sub> (OH)<sub>2</sub>, HPY, JCPDS24-586 ] 形成<sup>[16,23]</sup>. Nano-HAP 的除铅过程与其溶解及随后产生的 HPY 沉淀有关,

证实了 Nano-HAP 除铅过程是以溶解-沉淀为主<sup>[24]</sup>. 对于 Pb<sup>2+</sup>的溶解-沉淀过程可用如下的化学反应式表述<sup>[25,26]</sup>:

$$Ca_{10}(PO_4)_6(OH)_2 + 2H^+ \longrightarrow$$

$$10Ca^{2+} + 6PO_4^{3-} + 2H_2O$$

$$10Pb^{2+} + 6PO_4^{3-} + 2H_2O \longrightarrow$$

$$Pb_{10}(PO_4)_6(OH)_2 + 2H^+$$

Nano-HAP 在吸附了 Cu<sup>2+</sup>后,没有新的物相生成,并且对 Nano-HAP 的结晶性和晶格结构也没有产生显著影响. 图 5 进一步证明, Cu<sup>2+</sup>在 Nano-HAP 上的吸附是在 HAP 表面发生单层的静电物理吸附,与 HAP 表面的特殊位点进行表面络合配位. 从图 5 中可以看出,在有 Cu<sup>2+</sup>存在发生竞争吸附时生成的 HPY 的量比 Pb<sup>2+</sup>单独存在时少,说明金属阳离子之间发生竞争吸附影响 Pb<sup>2+</sup>溶解-沉淀的量.

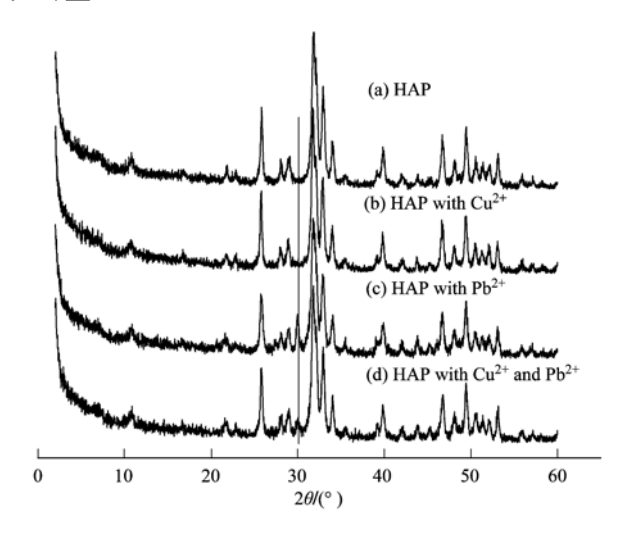


图 5 反应后 Nano-HAP 的 X 射线衍射(XRD)

Fig. 5 XRD pattern of Nano-HAP after adsorption

**2.5** 对 Pb<sup>2+</sup>和 Cu<sup>2+</sup>在 Nano-HAP 上的吸附动力学 数据的方程拟合

分别对单一离子环境和复合离子环境中的 Pb<sup>2+</sup>和 Cu<sup>2+</sup>在 Nano-HAP 上的吸附动力学过程进 行了拟合,采用一级动力学方程、二级动力学方程、 Elovich 方程、抛物线扩散方程、双常数方程和 LJ 方程[10,26~28]等.见表 4、5. 单一离子环境和复合离 子环境中的 Pb2+ 和 Cu2+ 在 Nano-HAP 表面的吸附 反应的动力学模型并不一致,总体上模型的拟合度 排序为:二级动力学方程>双常数方程>抛物线扩 散方程 > LJ 方程 > Elovich 方程 > 一级动力学方程, 二级动力学方程和双常数方程能较好地拟合 Pb2+ 和  $Cu^{2+}$ 在 Nano-HAP 上的吸附过程, 相关系数  $R^{2}$  > 0.99. 按照模型的动力学特征,符合二级动力学方 程,说明该反应过程具有反应级数为2的化学反应 的动力学特征:符合双常数模型,说明反应是一个 复杂的动力学过程,反应过程具有吸附的特征,具有 反应速率呈幂函数指数级增长的特征[29].说明,单 一离子环境和复合离子环境中的 Pb2+ 和 Cu2+ 在 Nano-HAP 表面的吸附动力学是一个化学反应和物 理吸附均占一定比例的复杂的吸附过程.

表 4 供拟合的动力学方程1)

Table 4 Adsorption kinetic equations

模型名称	模型
一级动力学方程	$\ln Q_t = \ln Q_0 + at$
二级动力学方程	$1/Q_t = a + b/t$
Elovich 方程	$Q_t = a + b \ln t$
抛物线扩散方程	$Q_t = a + b \ t1/2$
双常数方程	$\ln Q_t = a + b \ln t$
LJ方程	$t/Q_t = at + b$

 $1)Q_t$  为某一时刻的吸附量; a、b 为模型参数; t 为时刻;  $Q_0$  是平衡 吸附量

表 5 Pb2+和 Cu2+在 Nano-HAP 上的吸附动力学拟合方程

Table 5 Adsorption kinetic equations of Pb2+ and Cu2+ on the Nano-HAP

	Table 5 Ausorption	killetic equations of 1 b and	Cu on the Nano-11/11	
拟合方程	Cu <sup>2+</sup> (単一)	Cu <sup>2+</sup> (交互)	Pb <sup>2+</sup> (単一)	Pb <sup>2+</sup> (交互)
一级动力学方程	y = 0.0021x + 1.619	y = 0.0026 x + 2.064	y = 0.0026 x + 2.496	y = 0.0025x + 2.455
<b></b>	$R^2 = 0.6297$	$R^2 = 0.7504$	$R^2 = 0.7182$	$R^2 = 0.7084$
二级动力学方程	y = 12.53 x + 0.0102	$y = 6.541 \ x + 0.009 \ 8$	$y = 5.560 \ x - 0.001 \ 0$	y = 5.074x + 0.0041
	$R^2 = 0.9984$	$R^2 = 0.9989$	$R^2 = 0.9993$	$R^2 = 0.9999$
Elovich 方程	$y = 8.975 \ x - 28.49$	$y = 26.66 \ x - 94.87$	y = 40.47 x - 142.7	y = 32.52 x - 112.2
	$R^2 = 0.8587$	$R^2 = 0.7227$	$R^2 = 0.7471$	$R^2 = 0.7717$
抛物线扩散方程	y = 1.307 x - 4.911	y = 4.125 x - 30.22	y = 6.206 x - 43.31	y = 4.936 x - 31.27
地物线扩展力性	$R^2 = 0.9971$	$R^2 = 0.9474$	$R^2 = 0.9617$	$R^2 = 0.9732$
双常数方程	y = 0.7908 x - 1.787	y = 0.9314 x - 1.8245	y = 0.9516 x - 1.511	y = 0.8970 x - 1.332
外市纵刀住	$R^2 = 0.9871$	$R^2 = 0.9992$	$R^2 = 0.9995$	$R^2 = 0.9992$
LJ 方程	y = 0.0147 x + 12.56	y = 0.0013 x + 8.531	y = 0.0009 x + 5.492	y = 0.0022 x + 5.708
ロル性	$R^2 = 0.9857$	$R^2 = 0.4243$	$R^2 = 0.8337$	$R^2 = 0.9032$

#### 3 结论

- (1)单一  $Pb^{2+}$  和单一  $Cu^{2+}$  存在时,  $Pb^{2+}$  在 Nano-HAP 上的累积吸附量要高于  $Cu^{2+}$ ; 当  $Pb^{2+}$  和  $Cu^{2+}$  共存时, 两者在 Nano-HAP 表面发生竞争吸附,  $Cu^{2+}$  的累积吸附量增加, 而  $Pb^{2+}$  的累积吸附量下降.
- (2)Pb<sup>2+</sup>和 Cu<sup>2+</sup>在 Nano-HAP 上的吸附机制存在明显不同. Pb<sup>2+</sup>的吸附过程是化学吸附,即 Pb<sup>2+</sup>和 Ca<sup>2+</sup>进行离子交换并产生含重金属的 HAP 沉淀,而 Cu<sup>2+</sup>的固定过程是在 HAP 表面发生静电物理吸附,即与 HAP 表面的特殊位点进行表面络合配位. 不同的吸附机制影响了 Pb<sup>2+</sup>和 Cu<sup>2+</sup>共存时在 Nano-HAP 上的竞争吸附行为.
- (3)分别用一级、二级动力学方程、抛物线方程、Elovich 方程、双常数方程和 LJ 方程对 Pb<sup>2+</sup>、Cu<sup>2+</sup>在 Nano-HAP 上的吸附动力学过程进行了拟合,其中二级动力学方程和双常数方程拟合结果较好,说明 Pb<sup>2+</sup>和 Cu<sup>2+</sup>在 Nano-HAP 表面的吸附反应的动力学是一个化学反应和物理吸附均占一定比例的复杂的吸附过程.

#### 参考文献:

- [ 1 ] Ge Z G, Baguenard S, Lim L Y, et al. Hydroxyapatite-chitin materials as potential tissue engineered bone substitutes [ J ]. Biomaterials, 2004, 25(6): 1049-1058.
- [2] Ijntema K, Heuvelsland W J M, Dirix C A M C, et al. Hydroxyapatite microcarriers for biocontrolled release of protein drugs[J]. International Journal of Pharmaceutics, 1994, 112 (3): 215-224.
- [3] 刘羽,彭明生. 磷灰石在废水治理中的应用[J]. 安全与环境学报,2001,1(1):9-12.
- [4] Suzuki T, Hatsushika T, Hawakawa Y. Synthetic hydroxyapatites employed as inorganic cation-exchangers[J]. Journal of Chemical Society (Faraday Transaction I), 1981, 77(6): 1059-1062.
- [5] 刘斌, 寇小丽, 王奎, 等. 人工合成羟基磷灰石对水溶液中  $Pb^{2+}$ 、 $Cd^{2+}$ 离子的固定作用[J]. 应用化工, 2005, **34**(7): 415-418.
- [6] 齐勇, 刘羽, 胥焕岩. 羟基磷灰石吸附水溶液中 Zn<sup>2+</sup>影响因素的研究[J]. 环境污染治理技术与设备, 2006, **7**(5): 82-85
- [7] 韩松,冯如彬,张杰. 羟基磷灰石对水溶液中 Cu<sup>2+</sup>的吸附动力学研究[J]. 河北工程大学学报(自然科学版), 2007, **24** (1): 77-79, 98.
- [8] Corami A, Mignardi S, Ferrini V. Copper and zinc decontamination from single-and binary-metal solutions using hydroxyapatite[J]. Journal of Hazardous Materials, 2007, 146 (1-2): 164-170.

- [9] Wang Y J, Cui Y X, Zhou D M, et al. Adsorption kinetics of glyphosate and copper (II) alone and together on two types of soils [J]. Soil Science Society of America Journal, 2009, 73 (6): 1995-2001.
- [10] 王玉军,周东美,孙瑞娟,等.土壤中铜、铅离子的竞争吸附动力学[J].中国环境科学,2006,26(5):555-559.
- [11] Ngah W S W, Fatinathan S. Adsorption characterization of Pb (II) and Cu(II) ions onto chitosan-tripolyphosphate beads: kinetic, equilibrium and thermodynamic studies[J]. Journal of Environmental Management, 2010, 91(4): 958-969.
- [12] Chaturvedi P K, Seth C S, Misra V. Sorption kinetics and leachability of heavy metal from the contaminated soil amended with immobilizing agent (humus soil and hydroxyapatite) [J]. Chemosphere, 2006, 64(7): 1109-1114.
- [13] Corami A, Mignardi S, Ferrini V. Cadmium removal from singleand multi-metal (Cd + Pb + Zn + Cu) solutions by sorption on hydroxyapatite [J]. Journal of Colloid and Interface Science, 2008, 317(2): 402-408.
- [14] Smičiklas I, Dimović S, Plećaš I, et al. Removal of Co<sup>2+</sup> from aqueous solutions by hydroxyapatite[J]. Water Research, 2006, 40(12): 2267-2274.
- [15] Rodríguez-Lorenzo L M, Vallet-Regí M. Controlled crystallization of calcium phosphate apatites[J]. Chemistry of Materials, 2000, 12(8): 2460-2465.
- [16] 邹卫华,韩润平,陈宗璋,等. 锰氧化物/石英砂 (MOCS) 对铜和铅离子的动态吸附[J]. 应用化学,2006,23(3):299-304.
- [17] 钱功明,杨昌柱,罗惠华,等. HAP 去除水溶性铅离子作用机理研究[J]. 非金属矿,2006, **29**(4):50-52.
- [18] Ma Q Y, Samuel J T, Terry J L, et al. Effects of aqueous Al, Cd, Cu, Fe (II), Ni, and Zn on Pb immobilization by hydroxyapatite [J]. Environmental Science and Technology, 1994, 28(7): 1219-1228.
- [19] Corami A, D'Acapito F, Mignardi S, et al. Removal of Cu from aqueous solutions by synthetic hydroxyapatite: EXAFS investigation [J]. Materials Science and Engineering B, 2008, 149(2): 209-213.
- [20] 周吉峙,徐霞,张怡,等. 铅羟基磷灰石的形成与稳定性 [J]. 无机材料学报,2009,24(2):259-263.
- [21] Jang S H, Jeong Y G, Min B G, et al. Preparation and lead ion removal property of hydroxyapatite/polyacrylamide composite hydrogels[J]. Journal of Hazardous Materials, 2008, 159 (2-3): 294-299.
- [22] Jang S H, Min B G, Jeong Y G, et al. Removal of lead ions in aqueous solution by hydroxyapatite/polyurethane composite foams [J]. Journal of Hazardous Materials, 2008, 152 (3): 1285-1292.
- [23] 胥焕岩,刘羽,彭明生. 羟基磷灰石的除铅行为及作用机理研究[J]. 矿物岩石地球化学通报,2007,26(增刊):128-130.
- [24] Zhang Z Z, Li M Y, Chen W, et al. Immobilization of lead and cadmium from aqueous solution and contaminated sediment using

- nano-hydroxyapatite [ J ]. Environmental Pollution, 2010, 158 (2): 514-519.
- [25] Macropoulos E, Rossi A M, Costa A M. Studies on the mechanisms of lead immobilization by hydroxyapatite [ J ]. Environmental Science and Technology, 2002, 36 (7): 1625-1629.
- [26] 刘继芳,曹翠华,蒋以超,等.重金属离子在土壤中的竞争 吸附动力学初步研究 Ⅱ.铜与镉在褐土中竞争吸附动力学
- [J]. 土壤肥料, 2000, (3): 10-15.
- [27] 昝逢宇, 霍守亮, 席北斗, 等. 啤酒酵母去除水中 Cd<sup>2+</sup>和 Cu<sup>2+</sup>的吸附动力学和解吸特性[J]. 生态环境学报, 2009, **18**(6): 2108-2112.
- [28] 刘继芳, 蒋以超. 锌螯合物在土壤中的吸附动力学机理模型 初探[J]. 土壤学报, 1993, **30**(增刊): 25-31.
- [29] 廖华丰. 重金属污染土壤修复淋洗剂遴选研究[D]. 武汉: 华中科技大学, 2009. 38-39.

### **HUANJING KEXUE**

Environmental Science (monthly)

Vol. 33 No. 8 Aug. 15, 2012

### **CONTENTS**

CONTENID	
Levels and Sources of Gaseous Polybrominated Diphenyl Ethers in Air over the Northern South China Sea	LI Qi-lu, LI Jun, LIU Xiang, et al. (2533)
Observation and Analysis of Air Pollution in Zhangjiakou , Hebei	
Smog Chamber Simulation of Ozone Formation from Atmospheric Photooxidation of Propane	
Mechanism and Performance of a Membrane Bioreactor for Treatment of Toluene Vapors	YE Qi-hong, WEI Zai-shan, XIAO Pan, et al. (2558)
Analysis of Odor Pollutants in Kitchen Waste Composting	
Spatial Changes and Sources of Nitrate in Beijing Urban Ecosystem Surface Water	
Distribution Characteristics and Potential Risk of PCBs in Surface Water from Three Tributaries of Yangtze River in Different Periods	
Distribution Characteristics and Potential Risks of Phenols in the Rainy Season Surface Water from Three Gorges Reservoir V	
Spatial Distribution of Perfluorooctanoic Acids and Perfluorinate Sulphonates in Surface Water of East Lake	
Characteristics of Heavy Metal Pollution in Daninghe River and Modaoxi River of Three Gorges Reservoir Areas	
Pollution Characteristics and Ecological Risk Assessment of Heavy Metals in the Surface Sediments of the Yangtze River	
Analysis of the Source, Potential Biological Toxicity of Heavy Metals in the Surface Sediments from Shellfish Culture Mudflats of Ru	dong Country, Jiangsu Province
Effect of Disturbance Intensity on Phosphorus Release and Its Transformation in the Sediment from Taihu Lake	LI Da-peng, HUANG Yong (2614)
Effects of Intrusions from Three Gorges Reservoir on Nutrient Supply to Xiangxi Bay	
Influence of Perennial Flooding and Drought on Growth Restoration of Acorus calamus in Water-level-fluctuation Zone of the Three G	orges Reservoir · · · · · · · · · · · · · · · · · · ·
Pollution Load and the First Flush Effect of Phosphorus in Urban Runoff of Wenzhou City	
Output Characteristics of Rainfall Runoff Phosphorus Pollution from a Typical Small Watershed in Yimeng Mountainous Area	
Influence of Land Use Structure on Nitrogen Output in the Watershed of Suburban Agriculture Regions	
Simulation of Nitrogen and Phosphorus Loss in Siling Reservoir Watershed with AnnAGNPS	
GIS and L-THIA Based Analysis on Variations of Non-point Pollution in the Guanlan River Watershed, Shenzhen	BAI Feng-jiao, LI Tian-hong (2667)
Response of Sloping Water Erosion to Rainfall and Micro-earth Pattern in the Loess Hilly Area	
Comparison Study of Enhanced Coagulation on Humic Acid and Fulvic Acid Removal	······ ZHOU Ling-ling, ZHANG Yong-ji, YE He-xiu, et al. (2680)
Real-time PCR Detection and Quantification of Emerging Waterborne Pathogens (EWPs) and Antibiotic Resistance Genes (ARGs)	in the Downstream Area of Jiulong River · · · · · · · · · · · · · · · · · · ·
Total time 1 of 2 occording to the second of 2 occording to the second occordi	····· WANG Qing, LIN Hui-rong, ZHANG Shu-ting, et al. (2685)
Quantitative and Qualitative Analysis of Total Bacteria and Ammonia-oxidizing Bacteria in Buji River in Wet Season	SUN Hai-mei, BAI Jiao-jiao, SUN Wei-ling, et al. (2691)
Study on the Nitrogen Removal Performance and the Characteristics of Denitrification Bacterial Community Structure of Biological Ae	
Analysis of Microbial Community Structure at Full-scale Wastewater Treatment Plants by Oxidation Ditch	GUO Yun, YANG Dian-hai, LU Wen-jian (2709)
Performance and Microbial Community Dynamic Characteristics of an Internal Circulation Reactor Treating Brewery Wastewater	
Coupling AFM Fluid Imaging with Micro-Flocculation Filtration Process for the Technological Optimization	······· ZHENG Bei, GE Xiao-peng, YU Zhi-yong, et al. (2723)
Study on Removal Effect of Different Organic Fractions from Bio-treated Effluent of Dye Wastewater by UV/H <sub>2</sub> O <sub>2</sub> Process ·······	LI Xin, LIU Yong-di, SUN Xian-bo, et al. (2728)
Optimization of Chlorella pyrenoidosa-15 Photoheterotrophic Culture and Its Use in Wastewater Treatment	
Characteristics and Mechanism of 2,4,6-TCP Degradation by the "Fe <sup>0</sup> /Enriched-Bacteria" System	DAI You-zhi, GUO Li-li, SHI Lei, et al. (2741)
Immobilization of Crude Laccase onto Anion Exchange Resin and Its Application in Decoloration of Malachite Green	
Low-Temperature Preparation of TiO <sub>2</sub> /PS/Fe <sub>3</sub> O <sub>4</sub> and Its Photocatalytic Activity and Magnetic Recovery	·· WANG Xue-jiao, REN Xue-chang, NIAN Juan-ni, et al. (2752)
Study on Catalytic Oxidation of Benzene by Microwave Heating	····· ZHANG Yu-cai, BO Long-li, WANG Xiao-hui, et al. (2759)
Synergistic Effects of Nano-sized Magnetic Particles and Uncoupler to the Characteristics of Activated Sludge	······ GAO Li-ying, TANG Bing, LIANG Ling-yan, et al. (2766)
Experimental and Modeling Research on the Settlement of Aerobic Granular Sludge	SU Kui-zu, DENG Xiu-kun, ZHENG Li, et al. (2773)
Analysis of Hydrolytic Enzyme Activities on Sludge Aerobic/Anoxic Digestion After Ultrasonic Pretreatment	YE Yun-di, SUN Shui-yu, ZHENG Li, et al. (2780)
Effect of Microbial Nutrient Concentration on Improvement of Municipal Sewage Sludge Dewaterability Through Bioleaching	SONG Yong-wei, LIU Fen-wu, ZHOU Li-xiang (2786)
Response of the Artificial Cyanobacterial Crusts to Low Temperature and Light Stress and the Micro-structure Changes Under Laborat	tory Conditions
	RAO Ben-qiang, LI Hua, XIONG Ying, et al. (2793)
Seasonal Dynamics of Soil Active Carbon Pool in a Purple Paddy Soil in Southwest China	WU Yan, JIANG Chang-sheng, HAO Qing-ju (2804)
Pollution Characteristics and Accumulation of Antibiotics in Typical Protected Vegetable Soils	······· YIN Chun-yan, LUO Yong-ming, TENG Ying, et al. (2810)
Transformation and Influences of Copper and Selenium Fractions on Heavy Metals Bioavailability in Co-contaminated Soil	
Response of Soil Microbial Community to the Bioremediation of Soil Contaminated with PAHs	
Bioremediation of PAHs Contaminated Soil from Beijing Coking Plant by Lasiodiplodia theobromae	
Leaching Experiments on the Release of Trace Elements from Tailings of Chashan Antimony Mine, Guangxi, China	
Accumulation Characteristics of Arsenic in Suburban Soils of Beijing	
Antioxidant Enzyme Gene Expression as Molecular Biomarkers of Exposure to Polycyclic Musks	
Effects of Ozone Pollution on the Accumulation and Distribution of Dry Matter and Biomass Carbon of Different Varieties of Wheat	
Influence of Reaction Time of Urea Hydrolysis-Based Co-precipitation on the Structure of ZnAl Layered Double Hydroxides and the I	
	LU Ying, CHENG Xiang, XING Bo, et al. (2868)
Competitive Adsorption Kinetics of Aqueous Pb <sup>2+</sup> and Cu <sup>2+</sup> on Nano-HAP Surfaces	
Effects of pH and Ni <sup>2</sup> + on Sorption Behavior of Phenanthrene on Engineered Nano-Silica	
Adsorption Characteristics and Mechanism of Uranium on Attapulgite	LIU Juan, CHEN Di-vun ZHANG ling et al. (2889)
Adsorption Characteristics of Ciprofloxacin in Ustic Cambosols	
Kinetic Mechanism and Characteristics Researches for Hydrazine-based NO <sub>x</sub> Removal at Moderate to High Temperatures	
Current Research Situation of H <sub>2</sub> S Selective Catalytic Oxidation Technologies and Catalysts	
Sarrow recognition of 1120 concerns contained continuence and calculates	2210 Zinong ping, 200 Outing-yu, Zinino Ain, ti ut. (2007)

# 《环境科学》第6届编辑委员会

主 编:欧阳自远

副主编:赵景柱 郝吉明 田 刚

编 委:(按姓氏笔画排序)

万国江 王华聪 王凯军 王绪绪 田 刚 田 静 史培军

朱永官 刘志培 汤鸿霄 陈吉宁 孟 伟 周宗灿 林金明

欧阳自远 赵景柱 姜 林 郝郑平 郝吉明 聂永丰 黄 霞

黄耀 鲍强潘纲潘涛魏复盛

# 环枪种草

#### (HUANJING KEXUE)

(月刊 1976年8月创刊) 2012年8月15日 33卷 第8期

#### ENVIRONMENTAL SCIENCE

 $\begin{array}{ccc} (\mbox{ Monthly} & \mbox{Started in 1976}) \\ \mbox{Vol. 33} & \mbox{No. 8} & \mbox{Aug. 15}\,,\,2012 \end{array}$ 

 主	管	<b>山田利</b>	Superintended	by	Chinese Academy of Sciences
		中国科学院	-	-	•
主	办	中国科学院生态环境研究中心	Sponsored	by	Research Center for Eco-Environmental Sciences, Chinese
协	办	(以参加先后为序)			Academy of Sciences
		北京市环境保护科学研究院	Co-Sponsored	by	Beijing Municipal Research Institute of Environmental
		清华大学环境学院			Protection
主	编	欧阳自远			School of Environment, Tsinghua University
编	辑	《环境科学》编辑委员会	Editor-in -Chief	•	OUYANG Zi-yuan
<i>9</i> m	邗	,,	Edited	by	The Editorial Board of Environmental Science (HUANJING
		北京市 2871 信箱(海淀区双清路			KEXUE)
		18号,邮政编码:100085)			P. O. Box 2871, Beijing 100085, China
		电话:010-62941102,010-62849343			Tel:010-62941102,010-62849343; Fax:010-62849343
		传真:010-62849343			E-mail; hjkx@ rcees. ac. cn
		E-mail; hjkx@ rcees. ac. cn			http://www.hjkx.ac.cn
		http://www.hjkx.ac.cn	Published	bv	Science Press
出	版	辞华出版 社	rublisheu	Бу	
		北京东黄城根北街 16 号			16 Donghuangchenggen North Street,
		邮政编码:100717			Beijing 100717, China
印刷装	ŧ 订	北京北林印刷厂	Printed	by	Beijing Bei Lin Printing House
发	行	<b>斜学出版社</b>	Distributed	by	Science Press
		电话:010-64017032			Tel:010-64017032
		E-mail:journal@mail.sciencep.com			E-mail:journal@mail.sciencep.com
订 购	处	全国各地邮电局	Domestic		All Local Post Offices in China
国外总统	发行	中国国际图书贸易总公司	Foreign		China International Book Trading Corporation (Guoji
		(北京 399 信箱)	-		Shudian), P. O. Box 399, Beijing 100044, China
		*			

中国标准刊号: ISSN 0250-3301 CN 11-1895/X

国内邮发代号: 2-821

国内定价:70.00元

国外发行代号: M 205

国内外公开发行